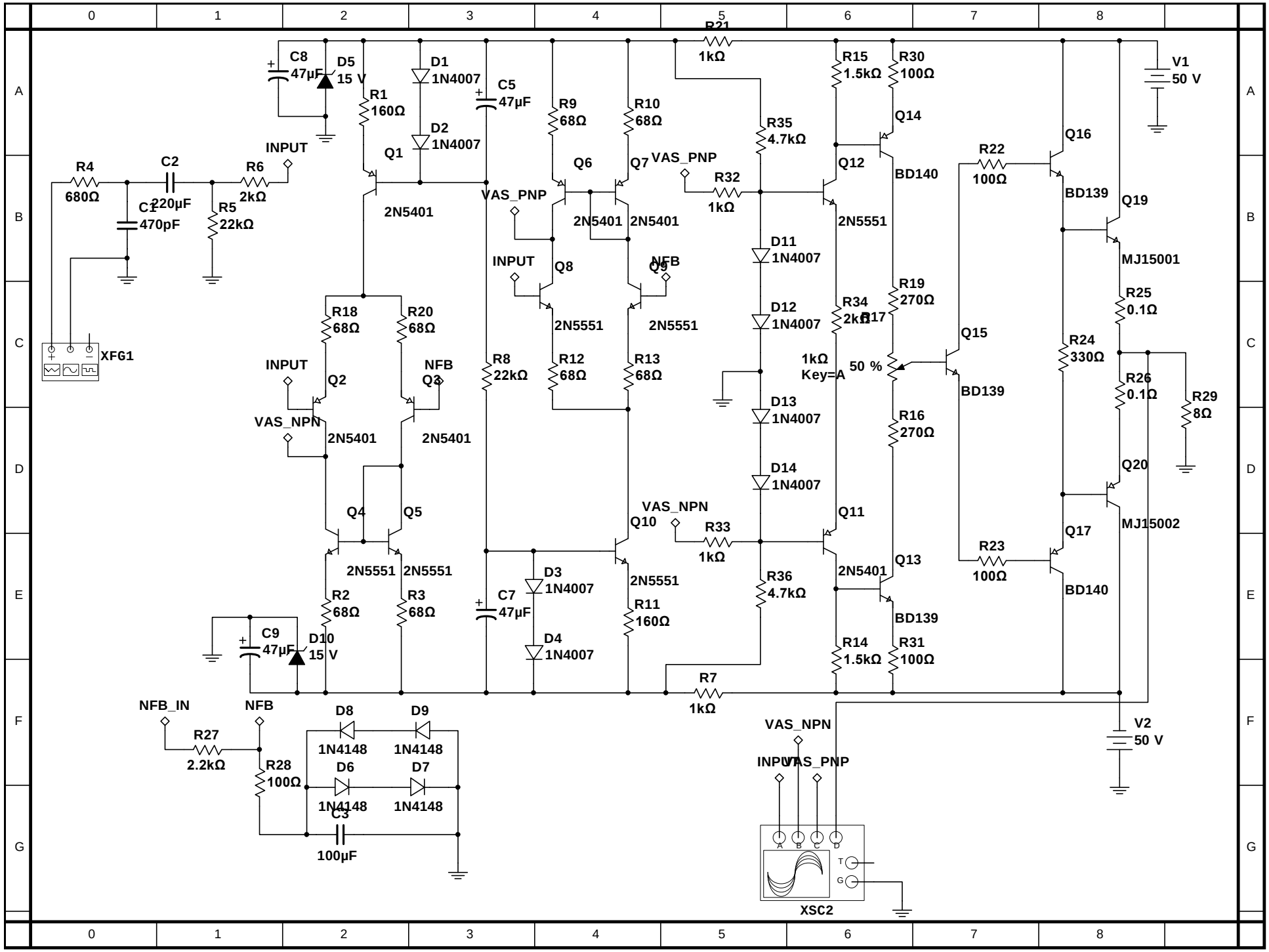
R21
1kΩ
C8
47µF
D5
15 V
D1
1N4007
D2
1N4007
C5
47µF
R1
160Ω
R9
68Ω
R10
68Ω
R15
1.5kΩ
R30
100Ω
V1
50 V
Q14
R35
4.7kΩ
INPUT
R4
680Ω
C2
220µF
R6
2kΩ
C1
470pF
R5
22kΩ
Q1
2N5401
Q6
Q7
VAS_PNP
R32
1kΩ
Q12
BD140
2N5401
2N5401
2N5551
R22
100Ω
Q16
BD139
Q19
MJ15001
D11
1N4007
INPUT
Q8
Q9
NFB
D12
1N4007
R34
2kΩ
R17
1kΩ
Key=A
50 %
R19
270Ω
R25
0.1Ω
R18
68Ω
R20
68Ω
2N5551
2N5551
Q15
BD139
R24
330Ω
R26
0.1Ω
R29
8Ω
XFG1
INPUT
Q2
NFB
Q3
R8
22kΩ
R12
68Ω
R13
68Ω
D13
1N4007
R16
270Ω
VAS_NPN
2N5401
2N5401
D14
1N4007
Q20
MJ15002
Q4
Q5
VAS_NPN
Q10
R33
1kΩ
Q11
Q17
2N5551
2N5551
D3
1N4007
2N5551
R36
4.7kΩ
2N5401
Q13
R23
100Ω
BD140
R2
68Ω
R3
68Ω
C7
47µF
R11
160Ω
BD139
C9
47µF
D10
15 V
D4
1N4007
R14
1.5kΩ
R31
100Ω
R7
1kΩ
NFB_IN
NFB
D8
D9
1N4148
1N4148
R27
2.2kΩ
R28
100Ω
D6
D7
1N4148
1N4148
C3
100µF
VAS_NPN
V2
50 V
INPUT
VAS_PNP
A
B
C
D
T
G
XSC2